

ارزیابی اثر عوامل اقلیمی بر پوشش گیاهی منطقه زاگرس با استفاده از اطلاعات رقومی ماهواره‌ای

منوچهر فرج زاده^{*}، امان الله فتح نیا^۱، بهلول علیجانی^۲ و پرویز ضیائیان^۳

farajzam@modares.ac.ir

۱- دانشجوی دکترای اقلیم‌شناسی، دانشگاه تربیت مدرس

۲- استاد، گروه جغرافیا، دانشگاه تربیت معلم تهران

۳- استادیار، گروه جغرافیا، دانشگاه تربیت معلم تهران

تاریخ پذیرش: ۸۹/۰۵/۰۲

تاریخ دریافت: ۸۸/۰۸/۰۹

چکیده

هدف این تحقیق ارزیابی اثر عوامل اقلیمی بر پوشش گیاهی در مرتع زاگرس با شاخص NDVI حاصل از سنجنده AVHRR و داده‌های هواشناسی می‌باشد. منطقه مطالعه شده مرتع با تراکم‌های ۵۱-۷۵، ۵۰، ۴۰-۲۵ و ۲۶-۵۰ درصد زاگرس می‌باشد. زمان مطالعه تصاویر ماهواره‌ای از ژانویه تا اکتبر ۲۰۰۶ و عوامل اقلیمی از سپتامبر ۲۰۰۵ تا اکتبر ۲۰۰۶ بود. هفت متغیر اقلیمی ماهانه (بارش، دما و رطوبت نسبی (حداکثر، میانگین و حداقل)) بر NDVI ماهانه مطالعه شد. پنهان‌بندی با روش زمین‌آمار و بررسی عوامل اقلیمی بر تغییرات پوشش گیاهی با رگرسیون چندمتغیره انجام شد. نتایج نشان می‌دهد که روش کوکریجینگ برای پنهان‌بندی بهتر می‌باشد و تنها در دمای میانگین، روش وزن‌دهی عکس فاصله ارزیابی بهتری دارد. بدین ترتیب، پوشش گیاهی به بارش ۲ ماه قبل و به دما و رطوبت نسبی ۱ ماه قبل پاسخ می‌دهد. نتایج رگرسیونی، نشان‌دهنده همبستگی بیشتر در مرتع با تراکم ۵۱-۷۵ درصد می‌باشد، اما در مجموع مقدار همبستگی در مرتع با تراکم ۱۰-۲۵ درصد پایین است که ناشی از ارتفاع کم از سطح دریا، اثر پس‌زمینه خاک و حواشی سطوح کشاورزی می‌باشد. همچنین ارتفاع کم در مرتع با تراکم ۱۰-۲۵ درصد عامل افزایش دما و انتقال شروع سبزینگی به اسفندماه (مارس) بوده است، در حالی که در مرتع با تراکم ۵۱-۷۵ درصد، شروع سبزینگی در اردیبهشت‌ماه (می) می‌باشد. بنابراین بیشترین مقدار R^2 در مرتع مترکم ۰/۶۴۷۸ مربوط به اردیبهشت‌ماه (می) و کمترین در مرتع کم تراکم، به مقدار ۰/۱۳۶ در مردادماه (اوت) می‌باشد.

واژه‌های کلیدی: دما، بارش، رطوبت نسبی، NDVI، مرتع زاگرس، AVHRR.

گیاه نیز یک اثر پس‌خورند روی آب و هوا از طریق

مقدمه

زبری، تبخیر یا آبدو دارد (Rasool, 1993)، اما این اثر به آسانی قابل شناسایی نیست (Charney *et al.*, 1977 و Courel *et al.*, 1984). از اوایل دهه ۱۹۸۰ محققان

آب و هوا از مهمترین عوامل تأثیرگذار بر شرایط پوشش گیاهی می‌باشد. پراکنش مکانی پوشش گیاهی ارتباط زیادی با شرایط اقلیمی دارد (Saugier, 1996).

بارش می باشد. همچنین دما عامل تأثیرگذارتری نسبت به بارش در تغییر رشد گیاه است (Yan *et al.*, 2008). طی دهه های گذشته مطالعات زیادی شاخص NDVI را برای پایش پاسخ گیاه به نوسانهای آب و هوایی در Afrika (Tucker *et al.*, 1985) و (Malo & Nicholson, 1990)، ایالات متحده امریکا (Di *et al.*, 1994) و Schultz & Yang (*et al.*, 1998) و در مقیاس جهانی (Halpert, 1993) مورد استفاده قرار دادند. به طور کلی از مطالعات می توان نتیجه گرفت که تغییرات زمانی شاخص NDVI پیوند نزدیکی با نوسان بارش دارد که متوسط برخی محققان به صورت خطی (Malo & Davenport, 1990) یا غیرخطی (Nicholson, 1993) انجام شده است، در صورتی که بارش در حالت ماهیانه یا سالیانه در مقادیر خاصی به NDVI پاسخ می دهد. به عنوان مثال، اگر بارش بیشتر از آستانه خاصی مانند ۵۰۰ میلی متر در سال یا بین ۵۰ تا ۱۰۰ میلی متر در ماه باشد، ارتباط قوی بین بارش و شاخص NDVI در بوتسوانا (Nicholson & Farrar, 1994) ۱۰۰۰ میلی متر یا ۲۰۰ میلی متر در ماه در شرق افریقا (Davenport & Nicholson, 1993) و ۱۰۰۰ میلی متر در سال در ساحل غرب افریقا وجود دارد. در افریقا یک فاصله بین اوج بارش و پاسخ اوج NDVI وجود دارد (Justice *et al.*, 1986)، به طوری که همبستگی بالاتری Malo (1993) و بارش دو ماه قبل از آن وجود دارد (Davenport & Nicholson, 1990) و (Nicholson, 1990). در مناطق مرطوب حراره ای، بالاتر از یک آستانه خاص، NDVI حساسیت زیادی به تغییرات بارش ندارد؛ به عنوان مثال، در افریقای استوایی بالاتر از ۲۰۰ میلی متر در ماه (Poccard & Richard, 1996)، در افریقای شرقی

اطلاعات شرایط پوشش گیاهی را از ماهواره قطبی AVHRR-NOAA^۱ بدست آورند (Tucker, 1996). شاخص NDVI^۲ بدست آمده از داده AVHRR می تواند برای پایش و ارزیابی توان پوشش گیاهی استفاده شود، زیرا AVHRR دارای تصاویری با تفکیک زمانی بالا و پوشش گسترده می باشد (Ji & Peters, 2003).

معادله شاخص NDVI بر این اصل استوار است که گیاه سالم به دلیل کلروفیل بیشتر و دیگر رنگدانه ها انعکاس پایینی در بخش مرئی طیف الکترومغناطیس دارد و انعکاس بالایی در بخش مادون قرمز نزدیک دارد، زیرا انعکاس داخلی بوسیله بافت اسفنجی برگ سبز صورت می گیرد (Cambell, 1987).

شاخص NDVI در اوج رشد عموماً برای گیاهان علفی متراکم حدود ۰/۶، گیاهان پراکنده و تنک ۰/۰۹ و تراکم متوسط حدود ۰/۲۴ می باشد (Chen *et al.*, 2005).

همبستگی مکانی شاخص NDVI و فاکتورهای آب و هوایی در تحقیقات متعددی ارزیابی شده است. به طوری که همبستگی بالایی بین NDVI و مقدار بارش باران در مناطق خشک بدست آمده است، اما ارتباط متقابل بین NDVI و دما ضعیفتر و لی معنی دار ارزیابی شده است (Yang *et al.*, 1998) (Richard & Ji & Peters, 1998) (Wang *et al.*, 2001) (Poccard, 1998) (Li *et al.*, 2004) و (Li *et al.*, 2004). مطالعه ترکیب مقادیر ۱۶ روزه NDVI در مناطق سرد کوههای تیانشان چین نشان دهنده همبستگی بالای رشد گیاه با فاکتورهای دما و

1 National Oceanic and Atmospheric Administration

2 Advanced Very High Resolution Radiometer

3 Normalized Difference Vegetation Index

برخی محققان از ترکیب مقادیر حداکثر برای تلفیق تصاویر چندروزه استفاده کردند. ترکیب مقادیر حداکثر تکنیک حفظ بالاترین مقادیر NDVI برای هر پیکسل در طی دوره یک ماه با استفاده از تصاویر آن ماه می‌باشد که از نظر مکانی مدام و نسبتاً بدون ابر، با تفکیک زمانی کافی برای ارزیابی تغییرات رشد گیاه می‌باشد (Holben, 1986) و (Eidenshink, 1992) (Maselli & Chiesi, 2006), (Holben, 1986) (Eck & Kalb, 1991) و (Gutman, 1989).

تحقیقات انجام شده در ایران اغلب در زمینه اثر خشکسالی بر پوشش گیاهی می‌باشد. به طوری که رابطه NDVI میان بارش‌های ماهانه، فصلی و سالانه با شاخص مربوط به تصاویر AVHHR، نشان‌دهنده ارتباط معنی‌دار میزان بارش و شاخص NDVI می‌باشد، این مطالعه با هدف ارتباط پذیریده خشکسالی با NDVI در استانهای آذربایجان غربی، شرقی و اردبیل انجام شده است (چنان، ۱۳۸۰).

مطالعه ارتباط شاخص‌های گیاهی، شاخص خاک و آب استخراج شده از تصاویر NOAA-AVHRR با هدف بررسی وضعیت خشکسالی منطقه زابل و بارش پاییزه و زمستانی، بارش سالیانه، سطح آب دریاچه هامون و میزان آب ورودی به رودخانه هیرمند همبستگی قابل قبولی را نشان می‌دهد (صفری، ۱۳۸۲).

بررسی NDVI و شاخص بارندگی استاندارد شده (SPI) در حوزه آبریز میناب در دوره آماری ۱۸ ساله نشان‌دهنده همبستگی مثبت NDVI با شاخص SPI می‌باشد (Karabulut, 2003).

بالاتر از ۱۲۰۰ میلی‌متر در سال (Nicholson *et al.*, 1990) و در افریقای جنوبی در حدود ۵۰۰ میلی‌متر (Nicholson & Farrar, 1994) یا ۶۰۰ میلی‌متر در سال (Fuller & Prince, 1996).

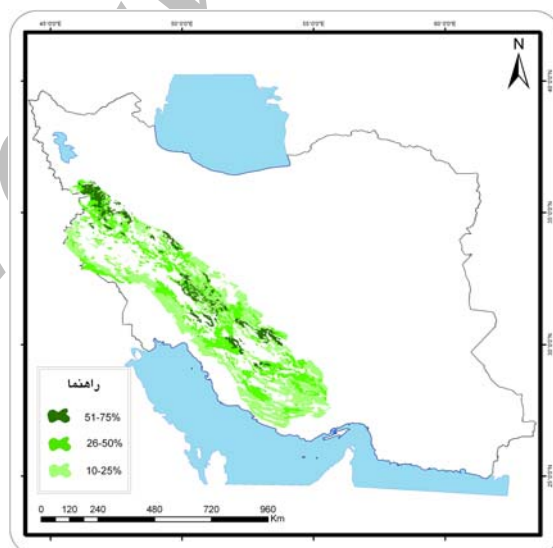
مطالعه NDVI، بارش و رطوبت خاک در بوتسوانا نشان می‌دهد، هنگامی که همبستگی بین NDVI و بارش برای متوسط چند ماهه بالا باشد، NDVI همان ماه به وسیله رطوبت خاک کنترل می‌شود، همچنین دما تأثیر مستقیمی روی رشد گیاه دارد (Farrar *et al.*, 1994). مطالعه بارش و NDVI توسط ریچارد و پوکارد نشان‌دهنده پاسخ NDVI به بارش سالیانه ۳۰۰ تا ۹۰۰ میلی‌متر می‌باشد، اما در مناطق نسبتاً خشک این مقدار بین ۳۰۰ تا ۵۰۰ میلی‌متر است (Richard & Poccard, 1998).

پیشینه مطالعات نشان می‌دهد که اثر فاصله زمانی بین گیاه و بارش پیچیده می‌باشد. فاصله زمانی از چندین روز تا یک سال و حتی بیشتر تغییر می‌کند (Goward & Prince, 1995). بررسی آب و هوای سالیانه (دما، بارش و تابش سطحی) و توزیع فصلی NDVI، نشان‌دهنده فاصله زمانی ۱ تا ۲ ماهه بین کرانه‌های ماهانه دما و بارش با NDVI می‌باشد (Potter & Brooks, 1998). مطالعه در افریقای جنوبی نشان‌دهنده تأخیر زمانی ۱ تا ۲ ماه پاسخ NDVI به بارش می‌باشد (Richard & Poccard, 1998). برخی محققان تأخیر زمانی ۱ تا ۲ ماهه اثر بارش بر NDVI را پیش‌بینی کردند (Nicholson & Farrar, 1994). به طوری که تحقیق در امریکای شمالی نشان‌دهنده اثر بارش دو ماه قبل بر رشد پوشش گیاهی می‌باشد (Karabulut, 2003).

منطقه مورد مطالعه

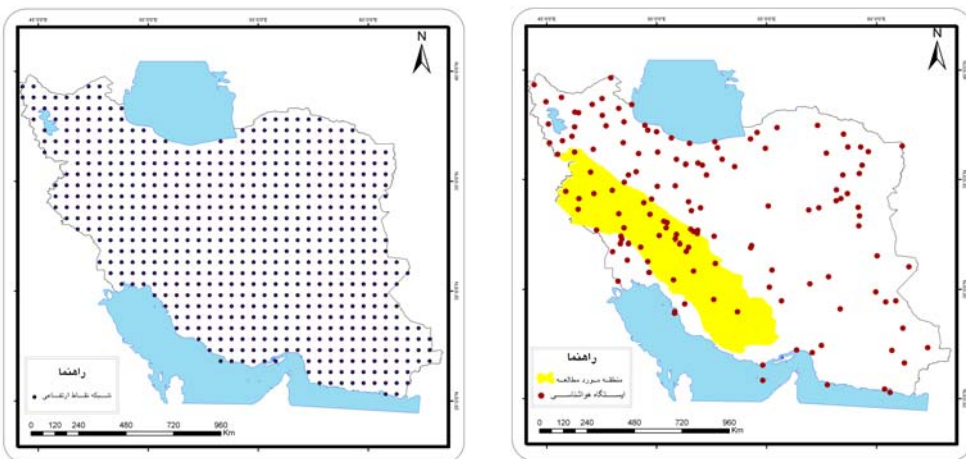
نقشه پوشش گیاهی منطقه به تفکیک درصد تراکم از سازمان جنگلها و مراعت کشور به صورت رقومی تهیه گردید و مناطق پوشش مرتعی علفی (غیر از درخت) با تراکم ۱۰-۲۵، ۲۶-۵۰ و ۵۱-۷۵ درصد (شکل ۱) زاگرس به ترتیب ۱۶۴۱۵۳۶ هектار، ۶۹۰۶۵۱۵ هектار و ۵۷۵۱۴۶۵ هектار، در غرب و جنوب غربی ایران (شکل ۲ الف) می باشد؛ البته بیشتر مراعت علفی (غیر از درخت) زاگرس را مراعت با تراکم ۲۶-۵۰ درصد و کمتر تشکیل می دهد. بنابراین لازم به تذکر این مطلب است که در این تحقیق تراکم براساس سطح پوشش می باشد، نه نوع گونه های متنوع علفی زاگرس.

می باشد. به نحوی که میزان همبستگی در فصول کم باران کمتر می شود، اما با شروع بارش و رویش پوشش گیاهی مقدار همبستگی افزایش می یابد. بنابراین بررسی ارتباط SPI بین شاخص حرارت سطحی LST و شاخص VCI نشان دهنده همبستگی منفی می باشد (طاهرزاده، ۱۳۸۵). نتایج حاصل از شاخص NDVI و VCI^۱ توسط شمسی پور (۱۳۸۶) نشان دهنده شرایط خشکسالی ماههای آوریل ۲۰۰۰ و مه ۲۰۰۱ و ترسالی ماههای مه ۲۰۰۲ و ۲۰۰۴ می باشد. همچنین شاخص NDVI و VCI با شاخص SPI رابطه معناداری داشتند. با توجه به مطالعات انجام شده، هدف این تحقیق ارزیابی اثر عوامل اقلیمی (دما، بارش و رطوبت نسبی) با مقادیر NDVI ماهانه برآورد شده از تصاویر NOAA-AVHRR در مراعت با تراکم ۱۰-۲۵، ۲۶-۵۰ و ۵۱-۷۵ درصد زاگرس می باشد.



شکل ۱- مراعت با تراکم ۱۰-۲۵، ۲۶-۵۰ و ۵۱-۷۵ درصد زاگرس

1- Vegetation Condition Index



ب) نقاط ارتفاعی استخراج شده از مدل رقومی ارتفاع

شکل ۲-الف) منطقه مورد مطالعه و ایستگاههای هواشناسی،

تصاویر مطالعه شده مربوط به NOAA-۱۸ می باشد که به وسیله سازمان ملی اقیانوس شناسی امریکا و جوی در تاریخ ۲۰۰۵ می ۲۰۰۵ به فضا پرتاب شد، این ماهواره خورشید آهنگ بوده و ۸۴۵ کیلومتر از زمین فاصله دارد. برخی سنجنده ها از جمله AVHRR بر روی این ماهواره مستقر می باشد (wikipedia). تصاویر ماهواره ای NOAA-AVHRR از وب سایت <http://www.class.ngdc.noaa.gov> در سطح ۱B و قدرت تفکیک مکانی ۱/۱ کیلومتری بود.

روش کار

پردازش داده های اقلیمی

با ایجاد پایگاه داده عوامل اقلیمی در نرم افزار ArcGIS ۹.۳، درون یابی داده ها با روش زمین آمار وزن دهی عکس فاصله، کریجینگ معمولی و کوکریجینگ کروی با ۱۰ نقطه همسایه انجام شد. لازم به تذکر این مطلب است که برای درون یابی در روش کوکریجینگ دو عامل نیاز است، به طوری که همراه با هر فاکتور اقلیمی نقاط ارتفاعی مستخرج از مدل رقومی ارتفاع، در محاسبه وارد می شود.

مواد و روشها

ایستگاههای هواشناسی سینوپتیک و کلیماتولوژی به دلیل ثبت عوامل اقلیمی مشابه دما، بارش و رطوبت نسبی برای دوره زمانی سپتامبر ۲۰۰۵ تا اکتبر ۲۰۰۶ انتخاب شد، به نحوی که که ۱۳۴ ایستگاه دارای داده های ثبت شده بدون نقص در دوره مطالعاتی بودند که تقریباً ۳۵ نقطه ایستگاهی در محدوده مورد مطالعه قرار گرفته است (شکل ۲ الف).

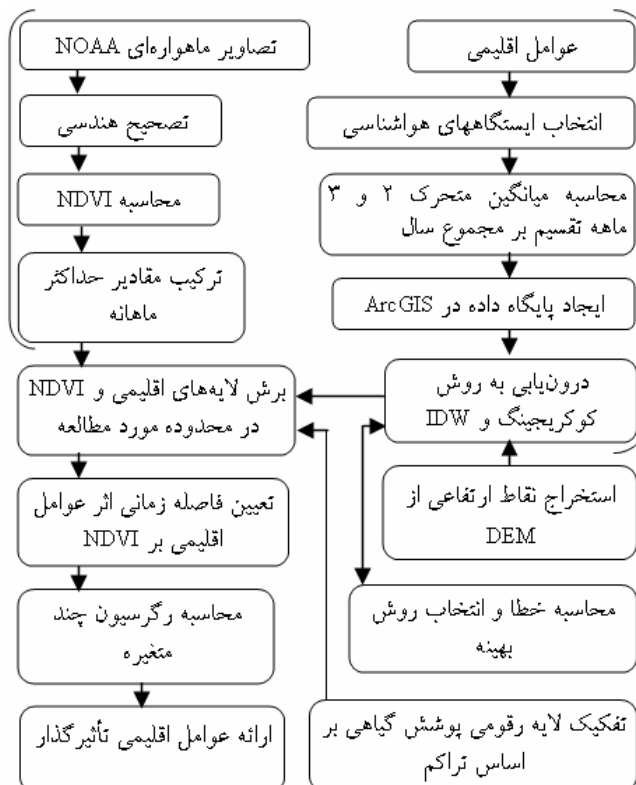
بدلیل تأثیر بیشتر توپوگرافی نسبت به دیگر عوامل مکانی بر عوامل اقلیمی، داده های ارتفاعی مربوط به ایستگاهها و همچنین نقاط ارتفاعی با فواصل ۰/۳ درجه ای (شکل ۲ ب) از مدل رقومی ارتفاعی (DEM^۱) استخراج گردید. مدل رقومی ارتفاعی بدست آمده از شاتل راداری^۲ SRTM با ابعاد تقریباً ۸۰*۸۰ کیلومتری بود. در مجموع ۱۱۷ نقطه در منطقه مورد مطالعه که بالاترین نقطه ۳۲۲۴ متر و پایین ترین نقطه با ۱۴۳ متر ارتفاع بود، برداشت گردید.

1- Digital Elevation Model

2- Shuttle Radar Topography Mission
(<http://www2.jpl.nasa.gov/srtm/>)

می‌گردد. شکل ۳ شمایی کلی از فرایند اجرای تحقیق را نشان می‌دهد.

سپس میزان خطای بایاس^۱ میانگین، خطای مطلق میانگین و خطای جذر مربع میانگین هر کدام از روشها محاسبه



شکل ۳- نمودار فرآیند اجرای تحقیق

قبلی برگردانده شده و برای تمامی نقاط، این عمل تکرار می‌شود. در نهایت با توجه به مقادیر اندازه‌گیری شده و پیش‌بینی شده، دقت (MAE) و انحراف (MBE) روش درون‌بایی با استفاده از روابط زیر محاسبه گردید (اختری و همکاران، ۱۳۸۵).

برای انتخاب روش زمین‌آمار بهینه از روش Cross-Validation برای ارزیابی روشهای زمین‌آمار استفاده شد. در این تکنیک، هر بار یک نقطه واقعی حذف و با استفاده از نقاط مجاور، مدل مورد نظر مقداری برای نقطه حذف شده برآورد می‌کند، سپس مقدار واقعی به محل

$$MAE = \frac{1}{n} \sum_{i=1}^n \left| \hat{Z}(X_i) - Z(X_i) \right| \quad (1)$$

$$MBE = \frac{1}{n} \sum_{i=1}^n \left(\hat{Z}(X_i) - Z(X_i) \right) \quad (2)$$

1- Bias

2- Mean Absolute Error

3- Mean Bias Error

شاخصی را برای برآورد سبزینه گیاه فراهم می‌کند (Sellers, 1985).

شاخص NDVI ضریبی از انعکاس در (باند ۲) مادون قرمز نزدیک (NIR) و (باند ۱) قرمز (RED) بخشی از طیف الکترومغناطیس می‌باشد (Tucker, 1979) و به صورت زیر محاسبه می‌شود:

$$NDVI = \frac{NIR - RED}{NIR + RED} \quad (4)$$

با استفاده از نرم‌افزار 8.7 ERDAS شاخص NDVI کل ایران استخراج گردید، به دلیل دامنه کم (۱ تا -۱) مقدار بدست آمده، در این مطالعه دامنه‌ای از ۰-۲۵۵ ایجاد شد، تا مقادیر مشخص‌تر شود. بنابراین برای کاهش اثرهای اتمسفری، زاویه اسکن، ابرناکی و زاویه تابش خورشید، فرمول ترکیب مقادیر حداکثر (MVC) روی تصاویر اعمال شد.

اثر تأخیر زمانی

در هر مکان جغرافیایی عوامل اقلیمی، با تأخیر زمانی بر روی رشد پوشش گیاهی مؤثرند، که در هر عامل اقلیمی با توجه به ضریب تأثیر آن عامل متفاوت است. با توجه به همین امر (اثر تأخیر زمانی فاکتورهای اقلیمی بر)، برای برآورد این زمان، عوامل اقلیمی از ماه سپتامبر ۲۰۰۵ و تصاویر ماهواره‌ای از ژانویه ۲۰۰۶ مورد بررسی قرار گرفت؛ به طوری که هر فاکتور برای کل ماههای قبل از ماه دارای NDVI برآذش داده شد. در

که در آنها: $\hat{z}(X_i)$ مقدار پیش‌بینی در نقطه x_i ، $z(x_i)$ مقدار اندازه‌گیری در نقطه x_i و n تعداد نقاط است. MAE معرف خطاست که هرچه مقدار به صفر نزدیک‌تر باشد، دقیق‌تر روش موردنظر مناسب‌تر است. مقدار MBE بیانگر میانگین انحراف است که می‌تواند مثبت و یا منفی باشد، از نظر تئوری هرگاه این دو مقدار برابر صفر شوند، دقیق‌تر روش صدرصد بوده و مقدار تخمین شده یک کمیت برابر مقدار واقعی می‌باشد (فرجی سبکبار و عزیزی، ۱۳۸۵). مقادیر خطای جذر مربع میانگین^۱ نیز از رابطه زیر محاسبه می‌گردد که مقدار اختلاف بین مقدار پیش‌بینی و اندازه‌گیری شده را نشان می‌دهد (Wechsler, 1999).

$$RMSE = \sqrt{\frac{\sum_{i=1}^N (y_i - \hat{y}_i)^2}{N-1}} \quad (3)$$

که در آن: y_i = مقدار پیش‌بینی شده، \hat{y}_i = مقدار اندازه‌گیری شده و N = تعداد نقاط نمونه می‌باشد.

درنهایت با توجه به مقادیر خطای پهن‌بندی عوامل اقلیمی با روش‌های بهینه انجام شد.

شاخص NDVI

ابتدا تصاویر ماهواره‌ای با استفاده از نرم‌افزار ENVI تصحیح هندسی گردید. البته بدلیل استفاده از فایل HDR تصاویر، میزان خطای تصحیح هندسی کمتر از ۰/۱ پیکسل (۱۰۰ متر) بود. سپس برای استخراج NDVI از باند ۱ و ۲ تصاویر AVHRR استفاده گردید. محدوده طیفی باند ۱ تصاویر AVHRR استفاده گردید. محدوده طیفی باند ۱ (۰/۵۸-۰/۶۸ میکرومتر) و باند ۲ (۰/۷۳-۱/۱ میکرومتر) می‌باشد که با فعالیت فتوستزی گیاه همبستگی دارد و

1- Root-Mean-Square Error

2- Maximum Value Composite

نتایج

تحلیل روش‌های واسطه‌یابی و انتخاب روش بهینه

دلیل اصلی استفاده از روش‌های پنهان‌بندی عوامل اقلیمی، قرارگیری اغلب سطوح پوشش گیاهی طبیعی در دامنه‌های کوهستانی و دور از دسترس می‌باشد، به‌طوری‌که اغلب مناطق مرتعی دور از ایستگاه‌های هواشناسی می‌باشند و استفاده از روش‌های درون‌یابی را ضروری می‌نماید. با توجه به بهینه بودن روش کوکریجینگ در ارزیابی همبستگی (R^2) حاصل از داده‌های اندازه‌گیری شده و پیش‌بینی شده، این روش در واسطه‌یابی عوامل اقلیمی بارش، متوسط حداقل دما، متوسط حداقل دما، متوسط حداقل رطوبت نسبی، میانگین رطوبت نسبی و متوسط حداقل رطوبت نسبی بکار برده شد که به ترتیب دارای ضریب همبستگی $0/436$ ، $0/93$ ، $0/863$ ، $0/672$ ، $0/741$ و $0/703$ بودند (جدول ۱). تنها در میانگین دمای ماه ژانویه روش وزن‌دهی عکس فاصله (IDW³) با مقدار $0/881$ از روش کوکریجینگ ارزیابی بهتری داشت؛ بنابراین بالاترین مقدار ضریب همبستگی مربوط به متوسط حداقل دمای ماهانه بود، دلیل این امر احتمالاً به توزیع یکنواخت‌تر این عامل نسبت به دیگر عوامل اقلیمی می‌باشد. کمترین مقدار ضریب همبستگی مربوط به پیش‌بینی بارش با مقدار حداقل $0/438$ در روش کوکریجینگ است، دلیل این امر به عوامل مکانی مانند قرارگیری کشور ایران در عرضهای جنوب‌حراره، توپوگرافی غیریکنواخت، متاثر بودن از توده‌های مختلف هوایی و در نتیجه پیش‌بینی کمتر این فاکتور اقلیمی با استفاده از واسطه‌یابی می‌باشد.

نهایت بهترین برآذشها به عنوان تأخیر زمانی عوامل اقلیمی بر پوشش گیاهی در نظر گرفته شد.

رگرسیون چندمتغیره

رگرسیون حداقل مربعات ساده یا (OLS¹) مدل رگرسیونی است که معمولاً معادل با حداقل مربعات معمولی می‌باشد و از یک متغیر مستقل استفاده می‌کند (Propastin *et al.*, 2009) که از رابطه زیر محاسبه می‌شود:

$$y = \alpha + \beta * X + \varepsilon \quad (5)$$

y = متغیر وابسته، α = عرض از مبدأ، β = ضریب رگرسیون، X = متغیر مستقل و ε = خطای تصادفی می‌باشد.

ضریب تأثیر (β) با محاسبه اثر هر عامل اقلیمی در برآورد NDVI بدست می‌آید؛ به‌طوری‌که هر چه این مقدار NDVI بیشتر باشد نشان‌دهنده تأثیر بیشتر آن در ارزیابی می‌باشد. از این رو طرز قرارگیری این مقدار در مدل رگرسیون خطی به صورت ثابت است که در مقادیر X (عوامل اقلیمی)، ضرب می‌شود. خطای تصادفی در معادله رگرسیونی به صورت ثابت فرض می‌شود. از آنجایی که در این تحقیق هفت‌متغیر مستقل (عوامل اقلیمی) بررسی شده است، از رگرسیون چندمتغیره (MOLS²) استفاده شد. بنابراین از آنجایی که در این مدل متغیر وابسته و مستقل مشخص است، ضرایب رگرسیون و عرض از مبدأ مشخص می‌گردد (Baker, 2003).

$$Y = \alpha + \beta_1 X_1 + \beta_2 X_2 + \dots + \beta_K X_K + \varepsilon \quad (6)$$

Y = متغیر وابسته، α = عرض از مبدأ، β = ضریب رگرسیون، X = متغیرهای مستقل و ε = خطای تصادفی می‌باشد.

1- Ordinary Least Squares

2- Multivariate Ordinary Least Squares regression

جدول ۱- ارتباط داده‌های اقلیمی اندازه‌گیری شده با مقدار پیش‌بینی شده در روش‌های زمین‌آماری

عوامل اقلیمی	روش وزن‌دهی عکس فاصله	روش کریجینگ	روش کوکریجینگ
متوسط حداقل دما	۰/۸۷۶	۰/۸۶۲	۰/۹۳
میانگین دما	۰/۸۸۱	۰/۸۴۵	۰/۸۵۰
متوسط حداقل دما	۰/۸۴۳	۰/۷۶۵	۰/۸۶۳
متوسط حداقل رطوبت	۰/۶۴۸	۰/۶۶۷	۰/۶۷۲
میانگین رطوبت نسبی	۰/۷۰۷	۰/۷۳۷	۰/۷۴۱
متوسط حداقل رطوبت نسبی	۰/۶۴۲	۰/۷	۰/۷۰۳
بارش	۰/۳۴۸	۰/۴۲۸	۰/۴۳۸

و بیشترین خطای مربوط به بارش می‌باشد. کمترین مقدار خطای مطلق میانگین مربوط به متوسط حداقل رطوبت ۱/۳۰۳۵۱۸ در روش کوکریجینگ و بیشترین مقدار خطای مطلق میانگین مربوط به بارش ۱۳/۶۵۶۸ مربوط به روش وزن‌دهی عکس فاصله می‌باشد.

بررسی مقادیر خطای (جدول ۲) در روش‌های درون‌یابی نشان‌دهنده بهینه‌بودن روش کوکریجینگ می‌باشد. به عبارت دیگر، هر چه این مقادیر کمتر باشد، بهینه‌بودن آن روش را نشان می‌دهد. به طوری که کمترین مقدار خطای بایاس میانگین مربوط به متوسط حداقل دما با ۰/۰۰۴۶-

جدول ۲- مقادیر خطاهای بایاس میانگین، مطلق میانگین و جذر مربع میانگین در روش‌های درون‌یابی

فاکتور اقلیمی	روش‌های زمین‌آماری	خطای جذر مربع میانگین	خطای بایاس میانگین	میانگین مطلق خطای
متوسط حداقل دما	کوکریجینگ	۰/۹۱۸۹۹	۰/۰۰۹۴۲۴	۰/۰۰۹۴۲۴
(ژانویه ۲۰۰۶)	کریجینگ	۵/۰۶۹۸۸۷	-۰/۱۷۲۷۶	-۰/۱۷۲۸
متوسط حداقل رطوبت	وزن‌دهی عکس فاصله	۴/۹۲۴۸۰۳	۰/۰۶۹۱۸۱	۰/۰۰۸۴۶۹
(ژانویه ۲۰۰۶)	کوکریجینگ	۱/۳۰۳۵۱۸	-۰/۰۰۱۰۸	-۰/۰۰۱۰۸
(ژانویه ۲۰۰۶)	کریجینگ	۱/۹۳۷۱۵۴	-۰/۰۰۵۶۹	-۰/۰۰۵۶۸
(ژانویه ۲۰۰۶)	وزن‌دهی عکس فاصله	۱/۸۱۷۶۰۲	۰/۰۳۱۸۶	۰/۰۳۱۸۶
بارش (ژانویه ۲۰۰۶)	کوکریجینگ	۲۵/۶۵۹۳۹	۱/۰۳۹	۱/۰۳۹
میانگین دما	کریجینگ	۲۶/۳۴۶۲۸	۲/۱۹۹۲	۲/۱۹۹۲
(ژانویه ۲۰۰۶)	وزن‌دهی عکس فاصله	۳۱/۶۵۶۸	-۰/۲۷۸۱	-۰/۲۷۸۱
متوسط حداقل دما	کوکریجینگ	۲/۱۲۷۴۱۲	۰/۰۰۰۱۵۲۵	۰/۰۰۰۱۵۲۵
(ژانویه ۲۰۰۶)	کریجینگ	۲/۱۶۱۷۹۸	-۰/۰۰۰۵۸۱۴	-۰/۰۰۰۵۸۱۴
(ژانویه ۲۰۰۶)	وزن‌دهی عکس فاصله	۱/۷۹۶۷۵۸	-۰/۱۹۶۱	-۰/۱۹۶۱
متوسط حداقل دما	کوکریجینگ	۲/۶۱۴۹۱۲	-۰/۰۰۷۸۰۱	-۰/۰۰۷۸۰۱
(ژانویه ۲۰۰۶)	کریجینگ	۲/۶۴۳۱۰۴	۰/۱۰۲۳	۰/۱۰۲۳
(ژانویه ۲۰۰۶)	وزن‌دهی عکس فاصله	۲/۰۴۲۰۳۵	-۰/۲۱۹	-۰/۲۱۹
میانگین رطوبت نسبی	کوکریجینگ	۴/۷۱۸۲۸۵	۰/۰۲۵۱۸	۰/۰۲۵۱۸
(ژانویه ۲۰۰۶)	کریجینگ	۴/۷۲۳۲۹۵	۰/۰۲۹۸۸	۰/۰۲۹۸۸
(ژانویه ۲۰۰۶)	وزن‌دهی عکس فاصله	۵/۱۲۰۲۰۳	۰/۲۲۴۶	۰/۲۲۴۶
متوسط حداقل رطوبت	کوکریجینگ	۵/۶۴۲۳۰۹	۰/۰۴۳۳۲	۰/۰۴۳۳۲
نسبی (ژانویه ۲۰۰۶)	کریجینگ	۵/۶۷۸۰۶۱	۰/۰۶۴۴۲۹	۰/۰۶۴۴۲۹
وزن‌دهی عکس فاصله	۶/۲۲۸۲۵۴	۰/۵۴۱۳۲۳	۰/۵۴۱۳	۰/۵۴۱۳

گیاهی از رگرسیون خطی چندمتغیره استفاده گردید. مقادیر بدست آمده از رگرسیون خطی چندمتغیره تراکم ۵۱-۷۵ درصد در جدولهای ۳ و ۴ ارائه شده است. جدول ۳ نشان‌دهنده ضریب تأثیر (β) هر کدام از عوامل اقلیمی در محاسبه شاخص اختلاف گیاهی نرمال شده مربوط به ماههای ژانویه تا اکتبر ۲۰۰۶ می‌باشد. حالت منفی مقادیر نشان‌دهنده تأثیر بعکس آن عامل اقلیمی در ارتباط با دیگر عوامل اقلیمی می‌باشد؛ به نحوی که هر عامل در ماه ممکن است نسبت دیگر عوامل نقش منفی یا مثبت داشته باشد.

بدین ترتیب کمترین خطای جذر مربع مربوط به میانگین دما 0°C و بیشترین مربوط به بارش می‌باشد. بنابراین بیشترین خطاهای در بارش مربوط به پیش‌بینی پذیری کمتر این عامل می‌باشد.

نتایج حاصل از بررسی اثر فاصله زمانی عوامل اقلیمی بر NDVI نشان‌دهنده تأثیر دو ماه قبل بارش و برای یک ماه قبل دما و رطوبت نسبی می‌باشد که در مطالعه حاضر این مقدار زمان لحاظ گردید.

تحلیل تأثیر عوامل اقلیمی بر شاخص NDVI

برای محاسبه تأثیر عوامل اقلیمی بر رشد پوشش

جدول ۳- ضریب تأثیر عوامل اقلیمی در محاسبه NDVI با رگرسیون چندمتغیره در مراتع با تراکم ۵۱-۷۵ درصد

فاکتور اقلیمی	ژانویه	فوریه	مارس	آوریل	می	ژوئن	ژوئیه	اگوست	سپتامبر	اکتبر	-۳/۷۴
دما حداکثر	-۱/۲۷	۳/۱۰	-۰/۳۱	-۳۲/۵۴	-۱۸/۰۴	-۱۱/۱۵	۹/۶۳	۴/۲۲	۵/۷۲	۵/۷۲	۵/۷۴
دما میانگین	۰/۳۵	-۰/۵۵	۰/۹۲	۱۲/۴۲	۵/۷۰	۰/۵۴	۸/۶۴	۵/۶۲	-۲/۸۷	-۲/۸۷	-۰/۳۷
دما حادفل	۰/۱۷	۰/۱۵	-۱/۲۱	-۱/۵۱	۰/۸۳	۱/۹۴	-۰/۷۹	۰/۶۳	-۱/۳۱	-۱/۳۱	-۰/۳۶
رطوبت نسبی حداکثر	۱۵/۷۹	۳/۰۸	۱۲/۴۱	-۴/۷۹	-۲۵/۸۴	-۱۱/۷۸	-۷/۶۵	-۷/۶۵	۲۱/۱۰	۲۱/۱۰	۲۰/۳۲
رطوبت نسبی میانگین	-۱۱/۱۵	-۲/۲۲	-۵/۸۹	۶۰/۳۳	۵۲/۹۴	-۳۱/۶۶	-۴/۴	۱/۴۳	-۱۹/۳۴	-۱۹/۳۴	-۵/۷۳
رطوبت نسبی حادفل	-۳/۳۶	-۰/۰۲	-۴/۷۹	-۳۷/۷۳	-۱۱/۲۴	-۱۲/۷۷	۱۲/۷۷	۲/۱۰	-۲/۶۴	-۲/۶۴	-۵/۲۱
بارش	-۲/۶۸	-۰/۲۳	۲/۱۷	۰/۲۷	-۲/۹۲	۱/۴۵	-۱/۷۳	۰/۸۱	-۲/۸۴	-۲/۸۴	-۲/۵۶

جدول ۴- ضرایب رگرسیون چندمتغیره بین عوامل اقلیمی با NDVI مراتع با تراکم ۵۱-۷۵ درصد

ضرایب OLS	ژانویه	فوریه	مارس	آوریل	می	ژوئن	ژوئیه	اگوست	سپتامبر	اکتبر	۱۴۰/۴۷
ضریب α	۱۲۷/۹۶	۱۳۵/۴۷	۱۳۶/۴۵	۱۲۷/۲	۱۲۸/۱۴	۱۲۸/۸	۱۳۹/۴۹	۱۱۸/۴۸	۱۳۷/۳	۱۳۷/۳	۱۴۰/۴۷
خطای تصادفی	۲۳/۷۸	۱۸/۵	۱۱/۴	۵۰/۳۱	۶۷/۷	۶۷/۹	۳۳/۴۲	۳۴/۲	۱۸/۲	۱۸/۲	۲۰/۳
R^2	۰/۴۱۹۷	۰/۲۳	۰/۳۱۸	۰/۴۳۸	۰/۶۴۷۸	۰/۵۶۲	۰/۵۶۹	۰/۴۰۲	۰/۴۰۲	۰/۴۵۴	۰/۴۵۴
AIC	۶۱۰۵۰/۳	۵۸۰۴۸/۱	۵۳۷۴۳/۳	۶۸۶۶۹/۶	۷۱۴۸۴/۶	۶۲۸۸۲/۷	۶۳۶۸۱/۱	۶۵۰۳۴/۴	۵۸۴۸۵/۳	۱۳۶۷۳	۱۳۶/۷۳

ارتباط کمتر شده است؛ به طوری که بالاترین مقدار همبستگی در ماه می (۰/۶۴۷۸) به دلیل شروع رشد گیاه و کمترین مربوط به فوریه (۰/۲۳) به دلیل اثر سرما می باشد. معیار اطلاعاتی اکیایک (Akaike) برای سنجش مدل‌های مختلف بکار برده می شود. از این رو هر چه این مقدار کمتر باشد، نشان‌دهنده پیچیدگی کمتر مدل محاسباتی می باشد. به عبارت بهتر، مقادیر کمتر، برازش بهتر با داده‌های مشاهده شده را نشان می دهد. بنابراین کمترین مقدار مربوط به ماه مارس به مقدار ۵۳۷۴۳ و بیشترین مقدار مربوط به ماه می (۷۱۴۸۴) می باشد.

جدول ۳ مربوط به مراعع با تراکم ۵۱-۷۵ درصد زاگرس می باشد، به طوری که بیشترین ضریب تأثیر مربوط به رطوبت نسبی حداکثر و میانگین و کمترین مربوط به دمای حداقل و میانگین می باشد، بقیه عوامل اقلیمی نقش میانه‌ای داشته‌اند. جدول ۴ مقادیر عرض از مبدأ (ضریب α ، خطای E ، همبستگی (R^2) و معیار اطلاعاتی اکیایک AIC^1) را نشان می دهد. همبستگی R^2 در ماههای سرد سال کمتر از ماههای گرم سال می باشد، این مقدار با شروع رشد گیاه تقریباً در ماه می افزایش محسوسی داشته و بعد از ماه اوت به دلیل خشک شدن پوشش گیاهی و در عین حال اثر ارتفاع زیاد بر تعدیل دما و رطوبت این

جدول ۵- ضریب تأثیر عوامل اقلیمی در محاسبه NDVI با رگرسیون چندمتغیره در مراعع با تراکم ۲۶-۵۰ درصد

فاکتور اقلیمی	ژانویه	فوریه	مارس	آوریل	ژوئن	ژوئیه	آگوست	سپتامبر	اکتبر
دمای حداکثر	۷/۳۲	۸/۶۵	-۵/۱۷	-۶/۳۹	-۵/۳	۱۲/۵۸	۶/۲۹	۲/۶۲	۱۲/۲۹
دمای میانگین	۵/۷۸	۱/۸۶	۷/۱۲	۵/۲۹	-۶/۴۱	-۴/۰۶	۰/۲۵	-۴/۱۲	-۴/۴۱
دمای حداقل	-۱/۵۸	-۱/۴۶	۰/۶۸	-۱	۳۲/۹۵	۳/۲۹	۱/۰۲	۰/۰۴	۰/۷۳
رطوبت نسبی حداکثر	۹/۲۲	-۱/۹۱	۳/۱۹	۲۲/۶۲	-۱۷/۸۲	۱۸/۰۷	۱۵/۶۱	۱۸/۱۰	-۴/۶/۱۲
رطوبت نسبی میانگین	-۶/۳۸	۴/۸۷	۱۱/۳۳	-۲۷/۰۱	-۶۰/۳۹	-۱۱/۷۵	-۱۷/۳۷	-۱۱/۷۱	۶/۸/۷۳
رطوبت نسبی حداقل	-۲/۲	-۰/۰۱	-۲/۵۳	۱۳/۳۵	۶۶/۳۲	۳/۶۳	۵/۹۹	-۲/۳	-۷/۹۶
بارش	۰/۳۴	-۰/۰۹	-۰/۱۲	-۰/۶۷	-۰/۰۱	-۰/۴۸	۰/۱۴	۶/۰۳	۷/۴۵

جدول ۶- ضرایب رگرسیون چندمتغیره بین عوامل اقلیمی با NDVI مراعع با تراکم ۲۶-۵۰ درصد

ضرایب OLS	ضرایب α	خطای تصادفی	R2	AIC
۶۶/۳۸	۰/۶۵۶	۶۵/۳۹	۷۲/۸۳	۶۵/۹۶
۳۴۲/۷	۳۱۵/۴	۳۸۴/۱	۴۱۳/۸	۴۱۳/۱
۰/۳۶۳	۰/۲۹۷	۰/۳۴۷	۰/۲۴۴	۰/۴۰۸
۴۹۲۸۱۰	۴۸۸۰۹۳	۴۹۹۲۸۶	۴۸۸۰۹۳	۴۸۸۵۱۱
				۴۷۹۶۸۹
				۴۸۱۶۵۲
				۴۹۰۸۴۳
				۵۰۳۴۲۰
				۵۰۳۵۲۱

1- Akaike Information Criterion

مقادیر در ماههای سرد سال بر اثر سرما حالت کاهشی- افزایشی و با شروع فصل رشد در ماه می افزایش یافته است، اما در ماههای پاییز کاهش یافته است. بنابراین بالاترین مقدار همبستگی در ماه آوریل و کمترین آن مربوط به ماه آگوست می باشد. به طوری که کمترین مقدار معیار اطلاعاتی اکیاکی (Akiaike) مربوط به ماه آگوست به مقدار ۴۷۹۶۸۹ و بیشترین مقدار مربوط به ماه آوریل به مقدار ۵۰۳۵۲۱ می باشد.

جدولهای ۵ و ۶ ضرایب محاسبه شده برای تراکم ۲۶-۵۰ درصد مراتع زاگرس می باشد. به طوری که بیشترین ضریب تأثیر مربوط به حداکثر، رطوبت نسبی حداقل و میانگین و کمترین تأثیر مربوط به بارش و دمای حداقل می باشد. البته اثر بارش در ماههای گرم سال رو به افزایش گذاشته است که می تواند به دلیل نقش ارتفاع در افزایش بارش باشد، اما در ماههای سرد سال اثر بارش به طرف منفی می رود. از این رو جدول ۶ همبستگی عوامل اقلیمی با NDVI در مراتع ۲۶-۵۰ درصد را نشان می دهد، این

جدول ۷- ضریب تأثیر عوامل اقلیمی در محاسبه NDVI با رگرسیون چندمتغیره در مراتع با تراکم ۱۰-۲۵ درصد

فاکتور اقلیمی	زانویه	فوریه	مارس	آوریل	ژوئن	ژوئیه	اگوست	سپتامبر	اکتبر	-۳/۲۲
دمای حداکثر	-۵/۱۲	۴/۹۵	-۳/۱۸	-۱۷/۱۹	-۰/۶۳	-۰/۵۷	۰/۲۶	۰/۲۱	۵/۲۱	۳/۲۲
دمای میانگین	۶/۵۸	۱/۶۹	۵/۲۶	۹/۵۸	-۱/۶۳	-۴/۱۶	۰/۸۸	۱/۸۳	۰/۰۲	۴/۹۷
دمای حداقل	۰/۰۵	-۱/۱۷	۰/۳۴	-۲/۰۲	۱۳/۵۹	۱/۸۹	۰/۸۹	-۰/۱۶	-۱/۰۹	-۰/۲۵
رطوبت نسبی حداکثر	۲۸/۴۱	۲۳/۸۷	۲۳/۹۷	۲۹/۲۴	۲۱/۲۸	۳۱/۲۸	۳۶/۰۳	۳۶/۲۴	۴۳/۲۴	۳/۶/۷
رطوبت نسبی میانگین	-۲۵/۷۰	-۲۹/۵۴	-۲۷/۱۶	۴/۲۵	-۱۳/۷۱	-۵۷/۵۹	-۴۶/۲۶	-۵۱/۲۷	-۰/۲۵	-۲۱/۷۷
رطوبت نسبی حداقل	۴/۸۷	۹/۹۵	۱۰/۴۳	-۱۹/۳۲	۲۴/۷۵	-۵/۲۶	۲۴/۹۲	۱۳/۹۳	۹/۳۳	-۲/۹
بارش	۰/۳۱	۰/۲	-۰/۰۵۲	-۰/۱	-۰/۰۵	-۱/۲۸	۰/۲	۲/۴۹	۳/۹۱	-۰/۴۱

جدول ۸- ضرایب رگرسیون چند متغیره بین عوامل اقلیمی با NDVI مراتع با تراکم ۱۰-۲۵ درصد

ضرایب	OLS	زانویه	فوریه	مارس	آوریل	ژوئن	ژوئیه	اگوست	سپتامبر	اکتبر
ضریب α	۱۴۶/۸	۱۴۹/۹	۱۴۷/۱	۱۵۱/۵	۱۴۰/۶	۱۳۷/۸	۱۴۴/۹	۱۳۹/۲	۱۵۱/۱	۱۶۴/۵
خطای تصادفی	۱۱۹/۱	۱۰۹/۷	۲۲۴/۵	۲۱۱/۸	۹۸	۷۷/۴	۰/۲۹	۰/۱۳۶	۹۵/۵	۱۲۱/۵
R^2	۰/۳۳۸	۰/۲۷۲	۰/۴۰	۰/۱۵۲	۰/۲۲	۰/۳۵	۰/۲۹	۰/۱۷۶	۰/۱۷۵	۹۳/۹
AIC	۱۶۳۶۰۰	۱۶۵۳۸۱	۱۷۹۱۴۶	۱۷۷۸۷۹	۱۷۶۹۲۰	۱۶۱۱۵۵	۱۵۶۰۲۶	۱۶۰۵۹۷	۱۶۵۸۱۱۳	۱۶۰۲۳۵

می باشد. به طور کلی ضریب تأثیر بارش در ماههای گرم سال افزایش محسوس و مثبتی داشته است. به دلیل اینکه این سطح از تراکم مراتع در ارتفاع کم واقع شده است، بنابراین مقدار دما افزایش و رطوبت کاهش داشته که با نقش بارش بیشتر شده است. بنابراین بیشترین ضریب

جدولهای ۷ و ۸ ضرایب محاسبه شده برای تراکم ۱۰-۲۵ درصد مراتع زاگرس می باشد. این مراتع در مناطق کم ارتفاع زاگرس واقع شده است. به طوری که بیشترین ضریب تأثیر مربوط به رطوبت نسبی حداکثر و میانگین و کمترین مربوط به بارش و دمای حداقل و میانگین

ارتفاع بالاتر زاگرس قرار گرفته‌اند که دور از دسترس برای چرای دام نیز می‌باشد. همچنین در مناطق کم ارتفاع به دلیل افزایش دما شروع رشد گیاه زودتر اتفاق افتاده است، به طوری که در مرتع با تراکم $10-25$ درصد شروع رشد گیاه در ماه مارس، ولی در مرتع متراکم در ماه می رخ داده است. بنابراین به دلیل نقش ارتفاع در تعديل دما، در ماههای گرم سال، مقدار همبستگی در مرتع متراکم بیشتر از مرتع کم تراکم است. آنچه لازم به یادآوریست، این موضوع می‌باشد که در مجموع مقدار ضریب همبستگی در همه تراکم‌ها پایین است، این امر به نتایج حاصل از درون‌یابی عوامل اقلیمی با روشهای زمین‌آمار بر می‌گردد؛ آنچه مسلم است مقدار پیش‌بینی در روشهای زمین‌آمار کمتر بوده و این خود باعث می‌شود که مقدار همبستگی بین عوامل اقلیمی و شاخص NDVI کمتر از ضریب همبستگی در پیش‌بینی درون‌یابی باشد.

بحث

یکی از مهمترین شاخص‌ها برای پایش و ارزیابی توان رشد پوشش گیاهی، شاخص NDVI بدست آمده از داده AVHRR می‌باشد. عوامل اقلیمی مهمترین عامل تأثیرگذار بر رشد پوشش گیاهی می‌باشند، تأثیر هر یک از این عوامل در هر منطقه متفاوت است. به طوری که در این تحقیق میزان تأثیر سه عامل مهم اقلیمی بارش، دما و رطوبت نسبی بر رشد پوشش گیاهی مورد مطالعه گرفت. نتیجه تحقیق عبارت است از:

- بهینه‌بودن روش کوکریجینگ و داده ارتفاعی حاصل از مدل رقومی ارتفاع در درون‌یابی عوامل اقلیمی، غیر از دمای میانگین که روش وزن‌دهی عکس فاصله بهتر می‌باشد.

تأثیر منفی مربوط به میانگین رطوبت نسبی و بیشترین ضریب تأثیر مثبت مربوط به رطوبت حداقل می‌باشد. در جدول ۸ مقادیر خطای تصادفی، عرض از مبدأ، همبستگی و معیار اطلاعاتی اکیایک (Akaike) ارائه شده است. به نحوی که مقدار همبستگی در کل نسبت به دیگر سطوح کمتر است، همچنین اثر ارتفاع باعث شده است که شروع سبزینگی چند ماه زودتر شروع شود و در ماه مارس اتفاق بیفتند. بدین ترتیب، در ایام زمستان مقدار R^2 بالاتر از تابستان و بهار می‌باشد؛ که دلیل آن رشد زودتر مرتع بر اثر عوامل اقلیمی دما در ارتفاع پایین‌تر است، اما به طرف بهار و تابستان به دلیل افزایش دما و کاهش بارش، سبزینگی کم شده است. البته بیشترین همبستگی مربوط به ماه مارس به مقدار $0/4$ و کمترین مربوط به آگوست به مقدار $0/136$ می‌باشد. در مجموع کمترین مقادیر در تابستان به طرف پاییز اتفاق افتاده است که در این زمان دما بالا و رطوبت نسبی کم می‌باشد.

کمترین معیار اطلاعاتی اکیایک (Akaike) مربوط به ماه ژولای به مقدار 156026 و بیشترین مربوط به ماه مارس به مقدار 179146 می‌باشد.

ارزیابی اثر تراکم مرتع بر همبستگی بین عوامل اقلیم و NDVI

همچنان‌که از جدولهای مربوط به انواع تراکم مرتع مشخص است، هر چه میزان تراکم مرتع بیشتر باشد، همبستگی بیشتری بین عوامل اقلیمی با شاخص NDVI وجود دارد. به طوری که، در مرتع با تراکم $10-25$ درصد زاگرس به دلیل اثر پس‌زمینه خاک و احتمالاً اثر تداخل سطوح زیر کشت کشاورزی، مقدار R^2 کمتری بدست آمده است؛ درحالی‌که در مرتع با تراکم $51-75$ درصد زاگرس همبستگی خیلی بالاتر می‌باشد، این مناطق در

برمی گردد که با سطوح طبیعی پوشش گیاهی تداخل ایجاد می کند. بنابراین آنچه در مجموع مقدار ضریب همبستگی را کمتر کرده است، ورود خطای حاصل از درون یابی و تنوع مکانی منطقه مطالعه شده می باشد. البته این مقدار با نتایج (Propastin *et al.*, 2009) که مقدار R^2 عامل بارش را به طور متوسط 0.63° برآورد کرده است، منطبق تر است.

-۵- شروع رشد گیاه در مرتع کم تراکم $10-25$ درصد تحت تأثیر ارتفاع به چند ماه زودتر یعنی ماه مارس منتقل شده است، در حالی که در ارتفاعات بالاتر با سطوح متراکم تر شروع رشد گیاه در ماه می اتفاق افتاده است.

-۶- اثر ارتفاع بر تراکم کمتر باعث شده است که در ماههای گرم سال مقدار ضریب همبستگی کمتر از حد معمول باشد که ناشی از افزایش دما و کاهش رطوبت نسبی می باشد.

سپاسگزاری

از مسئولان محترم سازمان هواشناسی کشور و همچنین سازمان جنگلها، مراعع و آبخیزداری کشور بدليل همکاری در زمینه داده های اقلیمی و لایه های رقومی پوشش گیاهی تشکر می نمایم.

منابع مورد استفاده

- چنار، ع.، ۱۳۸۰. ارزیابی و نظرات بر خشکسالی در استانهای آذربایجان شرقی، غربی و اردبیل با استفاده از تصاویر AVHRR، پایان نامه کارشناسی ارشد، دانشگاه تربیت مدرس، ۱۳۵ ص.
- صفری، ه.، ۱۳۸۲. بررسی وضعیت خشکسالی با استفاده از اطلاعات هواشناسی و داده ماهواره NOAA در منطقه زابل. پایان نامه کارشناسی ارشد، دانشگاه شهید بهشتی، ۱۵۱ ص.
- شمسی پور، ع.ا.، ۱۳۸۶. تحلیل رخدادهای خشکسالی منطقه کاشان با استفاده از داده NOAA-AVHRR. رساله دکتری اقلیم شناسی، دانشگاه تهران، ۱۹۴ ص.

-۲- تأثیر تأخیر زمانی دو ماهه بارش در پوشش گیاهی ماههای بعد از آن؛ درحالی که فاکتورهای دما و رطوبت فاصل زمانی یک ماهه دارند، ولی با نتایج (Potter & Nicholson & Farrar, 1994)، (Brooks, 1998) و (Richard & Poccard, 1998) منطبق می باشد، اما نتایج او چندان در مورد هر عامل اقلیم مشخص نیست و تنها به فاصله زمانی ۱ تا ۲ ماهه اشاره کرده است. نتایج Davenport & Nicholson (1994) و (Nicholson & Farrar, 1994) همبستگی بین NDVI با بارش را دو ماه زودتر برآورد کردن که با نتایج تحقیق منطبق است.

-۳- در مجموع در کل پوشش گیاهی زاگرس رگرسیون چندمتغیره ضریب تأثیر رطوبت نسبی حداقل، میانگین و حداقل را در اغلب ماهها ژانویه تا اکتبر ۲۰۰۶ نشان می دهد. اما عوامل اقلیمی بارش و دمای حداقل نقش خیلی کمتری در برآورد NDVI داشته اند. به نحوی که این مقادیر با نتایج (Yang *et al.*, 1997) مطابقت ندارد، هر چند مقدار ضریب دما بعد از رطوبت می باشد. همچنین نتایج محققانی از جمله (Yang *et al.*, 1998)، (Wang *et al.*, 2001)، (Richard & Poccard, 1998)، (Ji & Peters, 2004) و (Li *et al.*, 2004) با نتایج این تحقیق سازگار نمی باشد، به طوری که نتایج این محققان بیانگر ارتباط بیشتر بارش با NDVI نسبت به دماست. دلیل اختلاف احتمالاً به شرایط خاص توپوگرافی منطقه مطالعه شده و قرارگیری در جنوب حاره برمی گردد که تغییرات بارش و دما را تحت تأثیر قرار داده است.

-۴- بیشترین مقدار همبستگی R^2 مربوط به تراکم $75-51$ درصد و کمترین مقادیر مربوط به تراکم $10-25$ درصد می باشد. دلیل این امر احتمالاً به اثر پس زمینه خاک در مراعع غیرمتراکم و اثر حواشی سطوح کشاورزی

- Fuller, D.O. and Prince, S.D., 1996. Rainfall and foliar dynamics in tropical Southern Africa: potential impacts of global climatic change on savanna vegetation. *Climatic Change*, 33, PP: 69- 96.
- Goward, S.N. and Prince, S.D., 1995. Transient effects of climate on vegetation dynamics: satellite observations. *J. Biogeography*, 22, PP: 549-563.
- Gutman, G., 1989. On the relationship between monthly mean and maximum-value composite normalized vegetation indices. *Int. J. Remote Sensing*, 10, PP: 1317-1325.
- Holben, B.N., 1986. Characteristics of maximum-value composite images from temporal AVHRR data. *Int. J. Remote Sensing*, 7, PP: 1417- 1434.
- <http://en.wikipedia.org/w/index.php?title=Special%2ASearch&search=noaa+18>.
- Ji, L. and Peters, A.J., 2003. Assessing vegetation response to drought in the northern Great Plains using vegetation and drought indices. *Remote Sensing of Environment*, 87, PP: 85-98.
- Ji, L. and Peters, A.J., 2004., A Spatial Regression Procedure for Evaluating the Relationship between AVHRR-NDVI and Climate in the Northern Great Plains. *Int. J. Remote Sensing*, 25, PP: 297-311.
- Justice, C.O., Holben, B.N. and Gwynne, M.D., 1986. Monitoring East African vegetation using AVHRR data. *Int. J. Remote Sensing*, 7, PP: 1453-1474.
- Karabulut, M., 2003. An examination of relationships between vegetation and rainfall using Maximum Value Composite AVHRR-NDVI data. *Turk Journal Bot*, 27, PP: 93-101.
- Li, J., Lewis, J., Rowland, J., Tappan, G. and Tieszen, L.L., 2004. Evaluation of land performance in Senegal using multi-temporal NDVI and rainfall series. *J. Arid Environments*, 59, PP: 463-480.
- Malo, A.R. and Nicholson, S.E., 1990. A study of rainfall and vegetation dynamics in the African Sahel using normalized difference vegetation index. *J. Arid Environments*, 19, 1-24.
- Maselli, F. and Chiesi, M. 2006. Integration of multi-source NDVI data for the estimation of Mediterranean forest productivity. *Int. J. Remote Sensing*, 27, PP: 55-72.
- Nicholson, S.E. and Farrar, T.J., 1994. The influence of soil type on the relationships between NDVI, rainfall and soil moisture in semiarid Botswana. I. NDVI response to rainfall. *Remote Sensing of Environment*, 50, PP: 107- 120.
- Nicholson, S.E., Davenport, M.L. and Malo, A.R., 1990. A comparison of the vegetation response to rainfall in the Sahel and East Africa, using NDVI from NOAA AVHRR. *Climatic Change*, 17, PP: 207- 241.
- Pocard, I. and Richard, Y., 1996. Sensibilité du NDVI aux variations pluviométriques par suivi satellital en Afrique tropicale. *Publications* - طاهرزاده، ع.، ۱۳۸۵. تحلیل خشکسالی با استفاده از تکنولوژی GIS و سنجش از دور در حوضه آبریز میناب. پایاننامه کارشناسی ارشد، دانشگاه تربیت مدرس، ۱۳۰ ص.
- اختری، ر.، مهدیان، م.ح. و مرید، س.، ۱۳۸۵. تحلیل مکانی خشکسالی SPI و EDI در استان تهران. *تحقیقات منابع آب ایران*، سال دوم، ۳: ۲۷-۳۸.
- فرجی سبکبار، ح.ع. و عزیزی، ق.، ۱۳۸۵. ارزیابی میزان دقت روش‌های درون‌یابی فضایی (مطالعه موردی: الگوسازی بارندگی حوزه کارده مشهد). *پژوهش‌های جغرافیایی*، ۱۵: ۵۸-۶۱.
- Baker, M.J., 2003. *The marketing book*, fifth edition. Oxford, OX2 8DP, (google book online).
- Cambell, J.B., 1987. *Introduction to Remote Sensing*. New York, The Guttford Press.
- Charney, J.G., Quirk, W.J., Chow, S. and Kornfield, J., 1977. A comparative study of the effects of albedo change on drought in the semiarid regions. *J. Atmospheric Sciences*, 34, PP: 1366- 1385.
- Chen, H., Zou, C., Liu, Y., Xu, X. and Wang, S., 2005. Variations of NDVI and the relationship with climate in Huang- Huai- Hai region of China in 1981-2001. *Remote sensing and Modeling of Ecosystems for Sustainability II*. edited by Wei Gao, David R, Shaw, *Proceedings of SPIE Vol. 5884* (SPIE, Bellingham, WA, 2005) 58841I.
- Courel, M.F., Kandel, R.S. and Rasool, S.I., 1984. Surface albedo and the Sahel drought. *Nature*, 307, PP: 528- 531.
- Davenport, M.L. and Nicholson, S.E., 1993. on the relation between rainfall and the Normalized Difference Vegetation Index for diverse vegetation types in East Africa. *International Journal of Remote Sensing*, 14, PP: 2369-2389.
- Di, L., Rundquist, D.C. and Han, L., 1994. Modelling relationships between NDVI and precipitation during vegetation growth cycles. *Int. J. Remote Sensing*, 15, PP: 2121-2136.
- Eck, T. and Kalb, V., 1991. Cloud-screening for Africa using a geographically and seasonally variable infrared threshold. *Int. J. Remote Sensing*, 12, PP: 1205-1221.
- Eidenshink, J.C., 1992. The 1990 conterminous U.S. AVHRR data set. *Photogrammetric Engineering and Remote Sensing*, 58, PP: 809- 813.
- Farrar, T.J., Nicholson, S.E. and Lare, A.R., 1994., The influences of soil type on the relationships between NDVI, rainfall, and soil moisture in semiarid Botswana. II. NDVI response to soil moisture. *Remote Sensing of Environment*, 50, PP: 121-133.

- Tucker, C.J., 1996. history of the use of AVHRR data for land applications. In: G. D Souza, A. S. Selward and J.P. Malingreau, Editors, Advances in the use of NOAA AVHRR data for land applications. Kluwer Academic Publishers, Dordrecht, PP:1-19.
- Tuker, C.J., Vanpraet, C.L., Sharman, M.J. and Van Ittersum, G., 1985. Satellite remote sensing of total herbaceous biomass production in the Senegalese Sahel: 1980–1984. *Remote Sensing of Environment*, 17, PP: 233–249.
- Wang, J., Price, K.P. and Rich, P.M., 2001. Spatial patterns of NDVI in response to precipitation and temperature in the central Great Plains. *Int. J. Remote Sensing*, 22, PP: 3827-3844.
- Wechsler., 1999. digital elevation model (DEM) Uncertainty: elevation and effect on topographic parameters. available at www.esri.com/library/userconf/proc99/proceed/papers/pap262/p262.htm.
- Yan, D., Xi, C., Bao, A., Luo, G., Jappar, G. and Li, J., 2008. The Correlation Analysis of Vegetation Variable Process and Climate Variables in Alpine-Cold Wetland in Arid Area. *Geoscience and Remote Sensing Symposium, IGARSS 2008. IEEE International Vol. 4, 7-11, P: IV - 878 - IV – 881.*
- Yang, L., Wylie, B., Tieszen, L.L. and Reed, B.C., 1998. An analysis of relationships among climate forcing and time-integrated NDVI of grasslands over the U.S. Northern and Central Great Plains. *Remote Sens. Environ.*, 65, PP: 25–37.
- Association International Climatology, 9, PP: 41-48.
- Potter, C.S. and Brooks, V., 1998. Global analysis of empirical relations between annual climate and seasonality of NDVI. *Int. J. Remote Sensing*, 15, PP: 2921–2948.
- Propastin, P., Muratova, N. and Kappas, M., 2009. Reducing uncertainty in analysis of relationship between vegetation patterns and precipitation. *7th International Symposium on Spatial Accuracy Assessment in Natural Resources and Environmental Sciences*, Edited by M. Caetano and M. Painho.
- Rasool, S.I., 1993. *Système Terre*, (France: Dominos Flammarion), P: 12.
- Richard, Y. and Poccard, I., 1998. A statistical study of NDVI sensitivity to seasonal and interannual rainfall variations in southern Africa. *Int. J. Remote Sensing*, 19, PP: 2907-2920.
- Saugier, B., 1996. *Vegetation et atmosphère*. (France: Dominos Flammarion), P: 107.
- Schultz, P.A. and Halpert, M.S., 1993. Global correlation of temperature, NDVI and precipitation. *Advances in Space Research*, 13(5), PP: 277–280.
- Schultz, P.A. and Halpert, M.S., 1995. Global analysis of the relationships among a vegetation index, precipitation, and land surface temperature. *Int. J. Remote Sensing*, 16, PP: 2755- 2777.
- Sellers, P.J., 1985. Canopy reflectance, photosynthesis, and transpiration. *Int. J. Remote Sensing*, 6, PP: 1335–1372.
- Tucker, C.J., 1979., Red and photographic infrared linear combinations for monitoring vegetation. *Remote Sensing of Environment*, 8, pp: 127-150.

Assessment of climatic factors effect on vegetation in the Zagross region using satellite images

Farajzadeh, M.^{1*}, Fathnia, A.A.², Alijani, B.³ and Zeaiean, P.⁴

1*- Corresponding Author, Associated Professor, Department of Remote Sensing, Tarbiat Modares University, Tehran, Iran.
E-mail: farajzam@modares.ac.ir

2- Ph.D. Student, Department of Geography (climateology), Tarbiat Modares University, Tehran, Iran.

3- Professor, Department of Geography, Tarbiat Moallem University, Tehran, Iran.

4-Assisstant Professor, Department of Geography, Tarbiat Moallem University, Tehran, Iran.

Received: 31.10.2009

Accepted: 24.07.2010

Abstract

The aim of this research was to evaluate the effect of climatic factors on vegetation in rangelands of Zagross with normalized difference vegetation index (NDVI) derived from Advanced Very High Resolution Radiometer (AVHRR) sensor, and climatic data. The study area was rangelands of Zagross with 51-75, 26-50 and 10-25 density. Satellite images and climatic factors were respectively studied from January to October 2006 and from September 2005 to October 2006. Effects of seven monthly climatic variables (precipitation, temperature and relative humidity (maximum, mean and minimum) were studied on monthly NDVI. Zoning was performed by geostatistical method and Multivariate Ordinary Least Squares regression (MOLS) was applied to study the effect of climatic factors on vegetation changes. According to the Results CO-Kriging was identified as the best method for zoning, and Inverse Distance Weighting (IDW) only in mean temperature showed a better distance. Vegetation responses to precipitation of last two months, and temperature and relative humidity of last one month. Results of MOLS showed higher correlation in rangelands with a density of 51-75 %, but generally, correlation was low in rangelands with a density of 10-25 %, that can be due to the low altitude from sea level, effect of soil background and agricultural field margins. Also, low height in rangelands with a density of 10-25 % increased the temperature and transferred the start of leaf greenness to March, while in rangelands with a density of 51-75 % greenness started in May. The highest and lowest R^2 values were calculated as 0.6478 for dense rangelands in May and 0.136 for low density rangelands in August.

Key words: temperature, precipitation, relative humidity, NDVI, rangelands of Zagross, AVHRR